

LAMINA XXIX

LAMINA XXIX

Fig. 1-4.—*Homomya* aff. *Ligeriensis*, D'Orb.—Pág. 137.—Subdivisión 5, horiz. con Schloenb. trinodosa, Cenomaniano inferior.—Cerro de Muleros.

Fig. 1 valva izquierda; fig. 2 vista de arriba.

Fig. 3 valva izquierda; fig. 4 lado anterior.

Fig. 5-6.—*Homomya Bravensis*, n. sp.—Pág. 136.—Subdivisión 3, horiz. con Exogyra texana, Vraconiano.—Cerro de Muleros.

Fig. 5 valva derecha; fig. 6 lado anterior.

Fig. 7-9.—*Pholadomya Shattucki*, n. nom.—Pág. 137.—Subdivisión 5, horiz. con Schloenb. trinodosa, Cenomaniano inferior.—Cerro de Muleros.

Fig. 7 lado anterior.

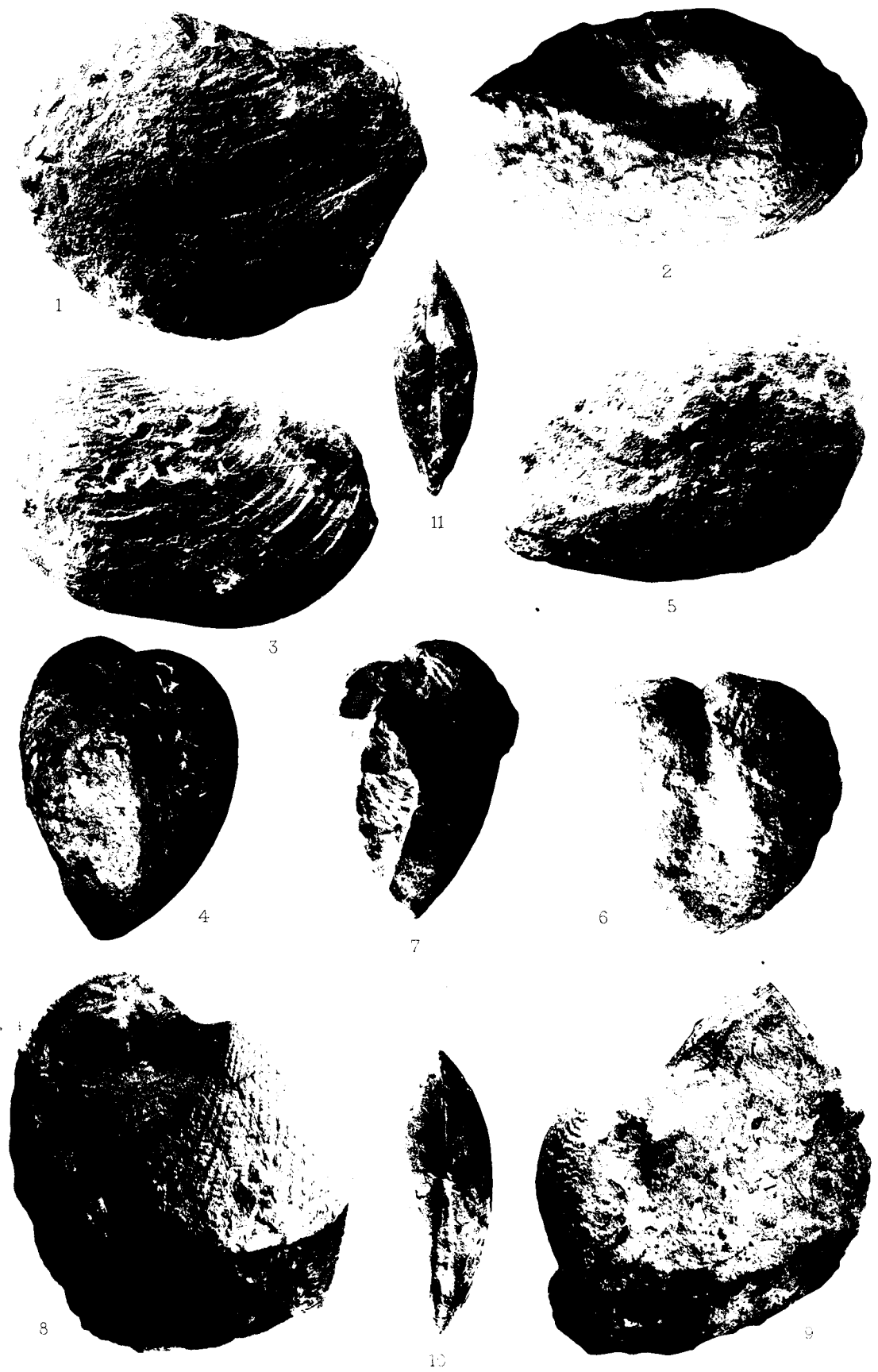
Fig. 8 valva derecha; fig. 9 lado anterior.

Fig. 10.—*Tapes Gabbi*, n. sp.—Pág. 134.—Vraconiano.—Cerro de las Conchas, Arivechi, Sonora.

Vista de arriba.

Fig. 11.—*Tapes Guadalupae*, n. sp.—Pág. 135.—Horiz. con Schloenb. Chihuahuensis, Vraconiano.—La Encantada.

Vista de arriba.



LAMINA XXX

LAMINA XXX

- Fig. 1.—*Pholadomya Sancti-Sabae* (Roem).—Página 138.—Horiz. con Schloenb. Chihuahuensis, Vraconiano.—La Encantada.
Valva derecha.
- Fig. 2-4.—*Turbo Chihuahuensis*, n. sp.—Pág. 139.—Horiz. con Schloenb. Chihuahuensis, Vraconiano.—La Encantada.
- Fig. 5-6.—*Neritina*, sp.—Pág. 141.—Subdivisión 1, horiz. con *Exogyra texana*, Vraconiano.—Cerro de Muleros.
- Fig. 7-8.—*Natica. aff. collina*, Conr.—Pág. 143.—Subdivisión 5, horiz. con Schloenb. trinodosa, Cenomaniano inferior.—Cerro de Muleros.
- Fig. 9.—*Natica Pedernalis*, Roem.—Pág. 142.—Horiz. con Schloenb. Chihuahuensis, Vraconiano.—La Encantada.
- Fig. 10.—*Turritella Vibrayeana*, D'Orb.—Pág. 145.—Subdivisión 1, horiz. con *Exogyra texana*, Vraconiano.—Cerro de Muleros.
- Fig. 11-12.—*Tylostoma Torrubiae*, Sharpe.—Página 143.—Horiz. con Schloenb. Chihuahuensis, Vraconiano.—La Encantada.
- Fig. 13.—*Tylostoma Chihuahuense*, n. sp.—Pág. 144.—Horiz. con Schloenb. Chihuahuensis, Vraconiano.—La Encantada.



LAMINA XXXI

LAMINA XXXI

Fig. 1-2.—*Tylostoma Chihuahuense*, n. sp.—Pág. 144.

Fig. 1.—Subdivisión 2, horiz. con *Exogyra texana*, Vraconiano.—Cerro de Muleros.

Fig. 2.—Horiz. con *Schloenb. Chihuahuensis*, Vraconiano.—La Encantada.

Fig. 3-5, 7, 10-12.—*Turritella granulata*, Sow. var. *cenomanensis* D'Orb.

—Pág. 147.—Subdivisión 6, horiz. con *Schloenb. trinodosa*, Cenomaniano inferior.—Cerro de Muleros.

Fig. 7. Amplificación de un ejemplar normal; fig. 10-12 amplificación de puntas de espiras.

Fig. 6.—*Turritella Vibrayeana*, D'Orb.—Pág. 145.—Subdivisión 1, horiz. con *Exogyra texana*, Vraconiano.—Cerro de Muleros.

Amplificación del ejemplar figurado en lám. XXX fig. 10.

Fig. 8-9.—*Turritella Bravensis*, n. sp.—Pág. 149.—Subdivisión 2, horiz. con *Exogyra texana*, Vraconiano.—Cerro de Muleros.

Fig. 13.—*Turritella cfr. nodosa*, Stol.—Pág. 150.—Subdivisión 2, horiz. con *Exogyra texana*, Vraconiano.—Cerro de Muleros.



LAMINA XXXII

LAMINA XXXII

Fig. 1-2.—*Turritella Bravensis*, n. sp.—Pág. 149.—Subdivisión 2, horiz. con *Exogyra texana*, Vraconiano.—Cerro de Muleros.

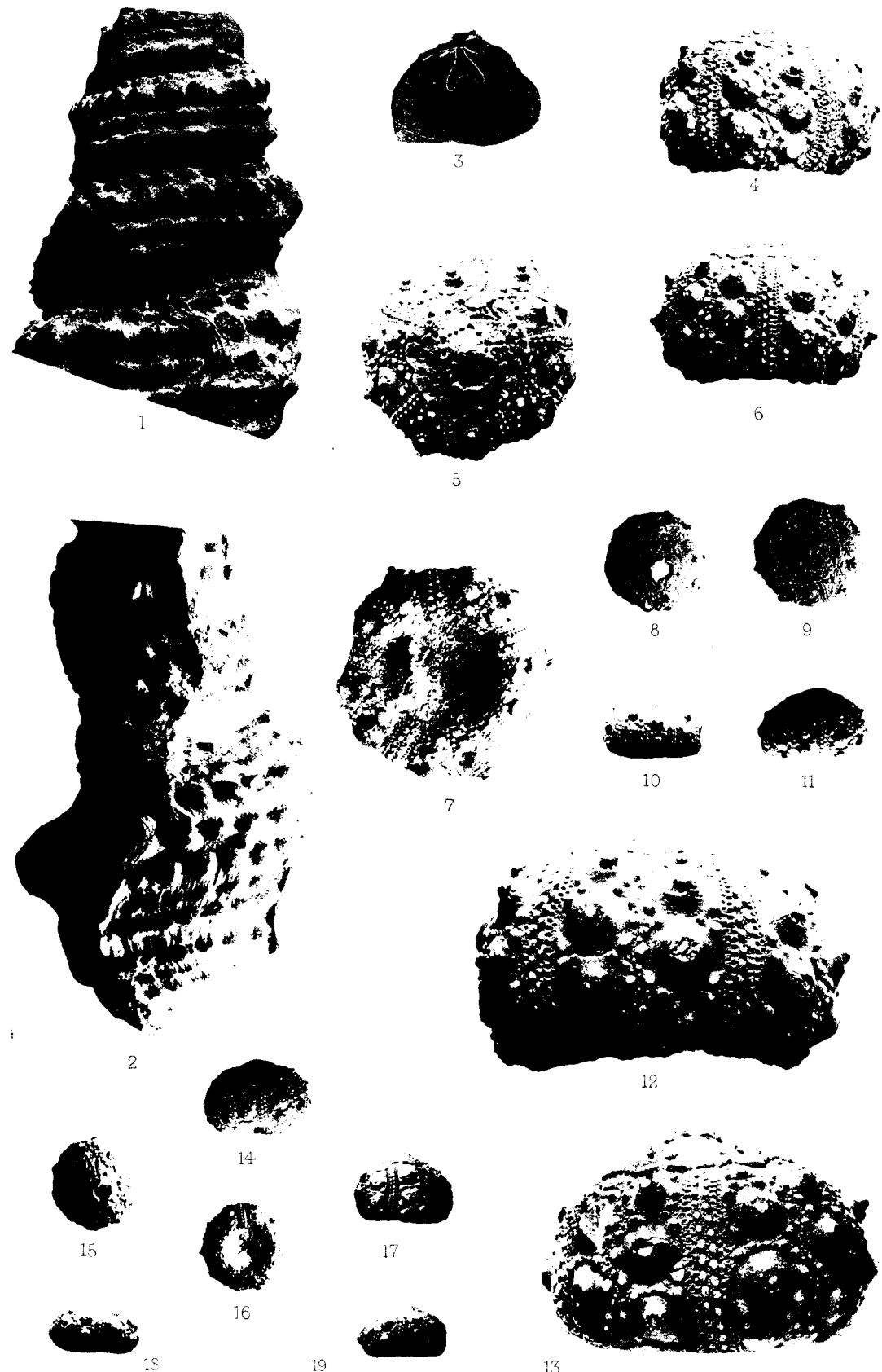
Amplificaciones.

Fig. 3.—*Terebratula*. sp.—Pág. 151.—Subdivisión 6, horiz. con Schloenb. trinodosa, Cenomaniano inferior.—Cerro de Muleros.

Aparato braquial.

Fig. 4-19.—*Salenia mexicana*, Schlüet.—Pág. 152.—Horiz. con Schloenb. Chihuahuensis, Vraconiano.—La Encantada.

- | | | |
|--|---|------------------|
| Fig. 4 interambúlaco. | } | Amplificaciones. |
| Fig. 5 aparato apicial. | | |
| Fig. 6 ambúlaco. | | |
| Fig. 7 peristoma. | | |
| Fig. 12 interambúlaco. | | |
| Fig. 13 ambúlaco. | | |
| Fig. 8, 9, 15 cara superior. | | |
| Fig. 11, 14, 18, 19 vista del lado (ambúlaco). | | |
| Fig. 10 vista del lado (interambúlaco). | | |
| Fig. 16 cara inferior. | | |
| Fig. 17 vista del lado, interambúlaco de un individuo enfermo. | | |



LAMINA XXXIII

LAMINA XXXIII

Fig. 6.—*Pseudodiadema (Diplopodia) cfr. variolare*, Brtg.—Pág. 155.—Subdivisión 5, horiz. con Schloenb. trinodosa, Cenomaniano inferior.—Cerro de Muleros.

Fig. 1 cara superior.

Fig. 2 cara inferior.

Fig. 3 y 4 vistas del lado.

Fig. 5 interambúlaco y ambúlaco de la cara superior. Amplificación.

Fig. 6 interambúlaco y ambúlaco de la cara inferior. Amplificación.

Fig. 7-10.—*Phymosoma mexicanum*, n. sp.—Pág. 158.—Subdivisión 5, horiz. con Schloenb. trinodosa, Cenomaniano inferior.—Cerro de Muleros.

Fig. 7 cara superior.

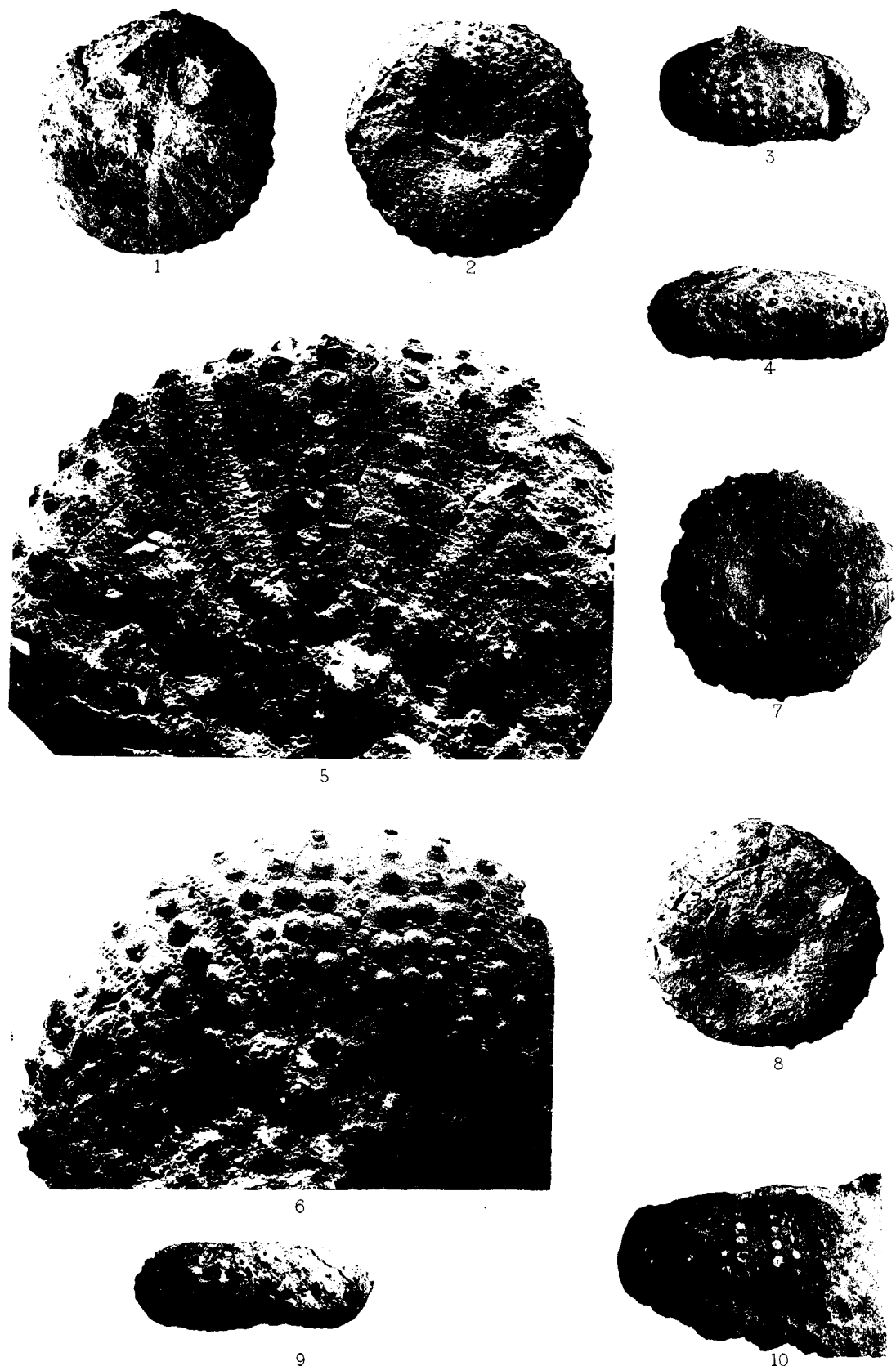
Fig. 8 cara inferior.

Fig. 9 y 10 vistas del lado.

BOLETÍN N°25.

INSTITUTO GEOLÓGICO DE MÉXICO.

LÁM. XXXIII.



LAMINA XXXIV

LAMINA XXXIV

Fig. 1-2.—*Pseudodiadema (Diplopodia) cfr. variolare*, Brgt.—Pág. 155.—Subdivisión 5, horiz. con Schloenb. trinodosa, Cenomaniano inferior.—Cerro de Muleros.

Fig. 1. vista del lado (ambúlaco). Amplificación.

Fig. 2 vista del lado (interambúlaco). Amplificación.

Fig. 3.—*Phymosoma mexicanum*, n. sp.—Pág. 158.—Subdivisión 5, horiz. con Schloenb. trinodosa, Cenomaniano inferior.—Cerro de Muleros.

Interambúlaco y ambúlaco de la cara superior. Amplificación.

Fig. 4-8.—*Pseudodiadema (Diplopodia) texanum*, Roem.—Pág. 157.—Vraconiano.—Cerro de las Conchas, Arivechi, Sonora.

Fig. 4 y 8 cara superior.

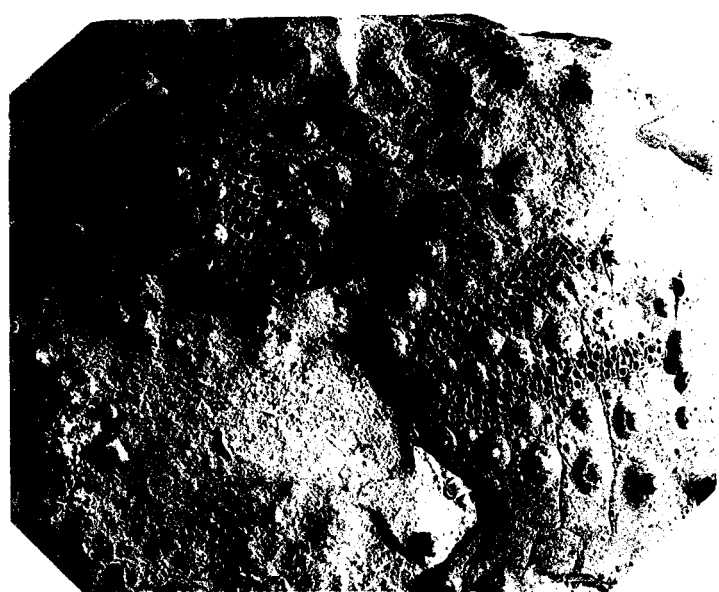
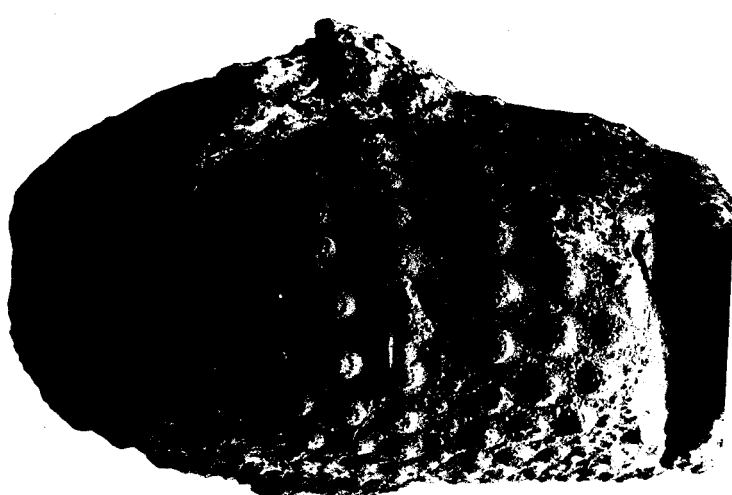
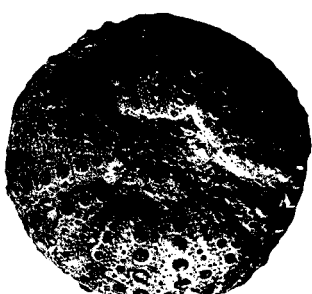
Fig. 5 cara inferior.

Fig. 6, 7 vista del lado.

BOLETÍN N°25.

INSTITUTO GEOLÓGICO DE MÉXICO.

LÁM. XXXIV.



LAMINA XXXV

LAMINA XXXV

Fig. 1-3.—*Phymosoma mexicanum*, n. sp.—Pág. 158.—Subdivisión 5, horiz. con Schloenb. trinodosa, Cenomaniano inferior.—Cerro de Mu-leros.

Fig. 1 interambúlaco de la cara superior. Amplificación.

Fig. 2 ambúlaco de la cara superior. Amplificación.

Fig. 3 peristoma. Amplificación.

Fig. 4, 6, 9.—*Nodosaria texana*, Conr.—Pág. 177.—Subdivisión 5 y 6, horiz. con Schloenb. trinodosa, Cenomaniano inferior.—Cerro de Mu-leros.

Amplificaciones.

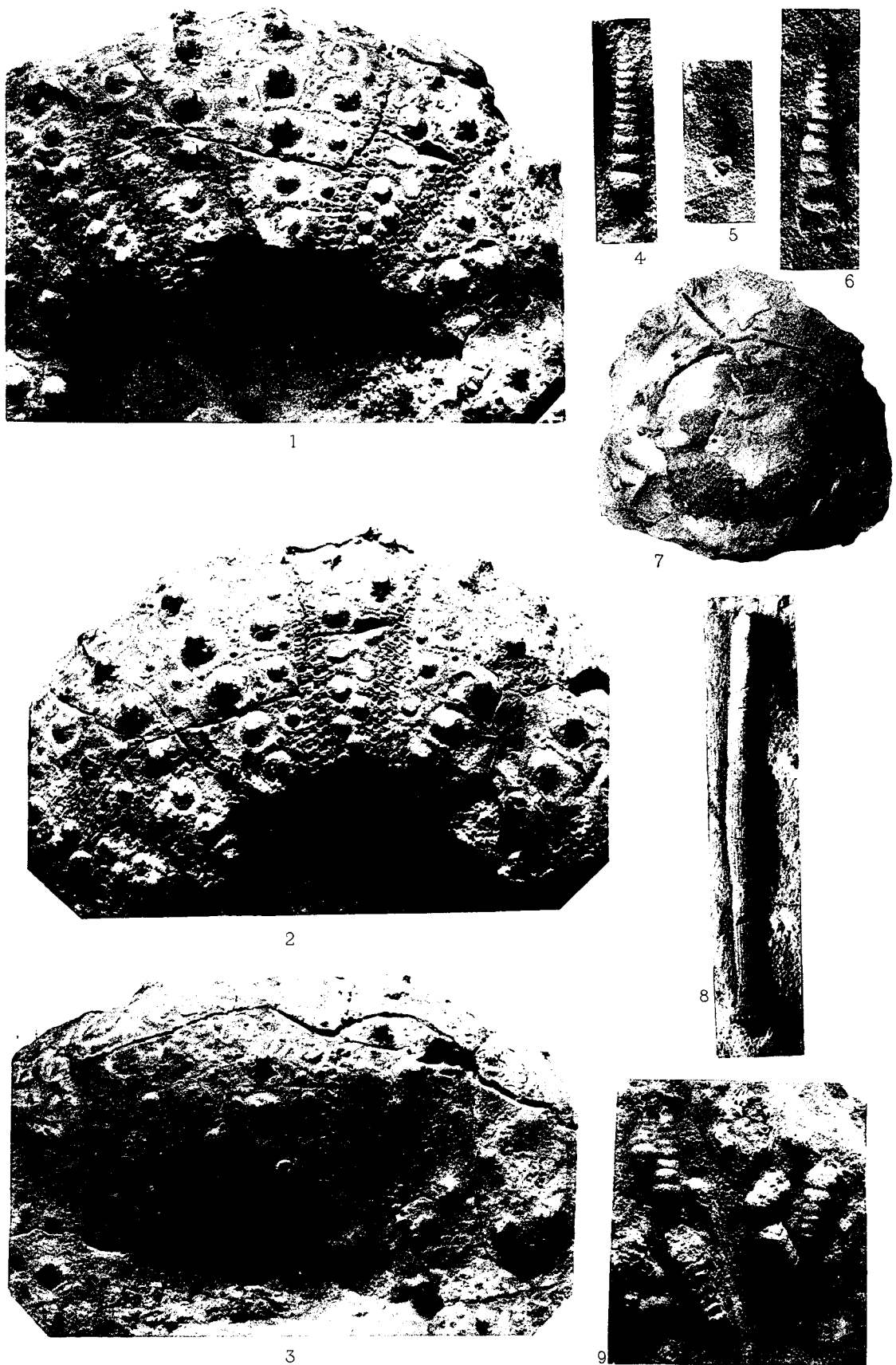
Fig. 7-8.—*Phymosoma mexicanum*, n. sp.—Pág. 158.—Subdivisión 5, horiz. con Schloenb. trinodosa, Cenomaniano inferior.—Cerro de Mu-leros.

Fig. 7 cara superior y púas en tamaño natural; fig. 8 púa 8 veces amplificada.

BOLETÍN N°25.

INSTITUTO GEOLÓGICO DE MÉXICO.

LÁM. XXXV.



LAMINA XXXVI

LAMINA XXXVI

Fig. 1-2.—*Pseudodiadema (Diplopodia) texanum*, Roem.—Pág. 157.—Vraconiano.—Cerro de las Conchas, Arivechi, Sonora.

Fig. 1 cara superior. Amplificación.

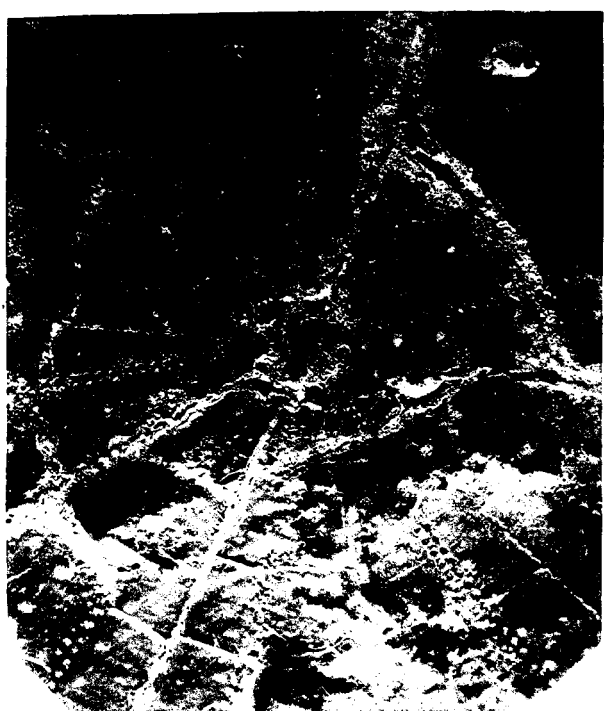
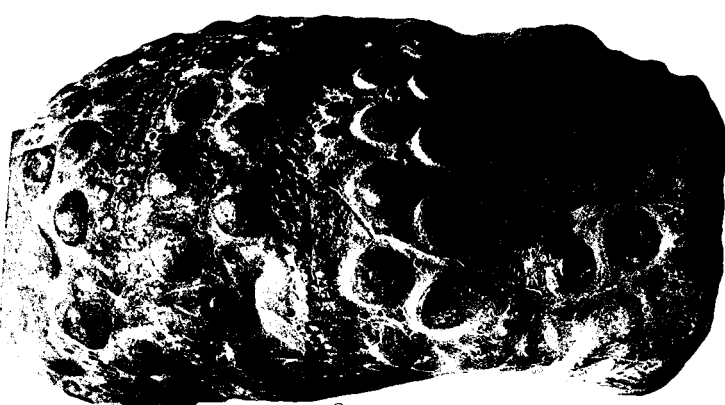
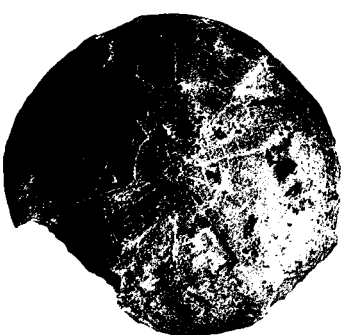
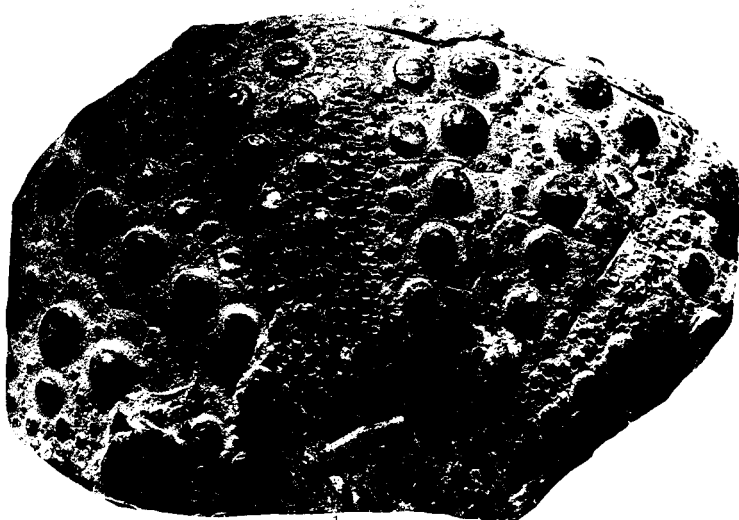
Fig. 2 lado. Amplificación.

Fig. 3-6.—*Holectypus limitis*, n. sp.—Pág. 159.—Subdivisión 5, horiz. con Schloenb. trinodosa, Cenomaniano inferior.—Cerro de Muleros.

Fig. 3 y 6 aparato apicial amplificado.

Fig. 4 cara superior.

Fig. 5 lado.



LAMINA XXXVII

LAMINA XXXVII

Fig. 1-8.—*Holectypus limitis*, n. sp.—Pág. 159.—Subdivisión 5, horiz. con Schloenb. trinodosa, Cenomaniano inferior.—Cerro de Muleros

Fig. 1 periprocta, ambúlaco é interambúlaco de la cara inferior. Amplificación.

Fig. 2 interambúlaco del lado, amplificado.

Fig. 3 ambúlaco del lado, amplificado.

Fig. 4 cara inferior fig. 8 cara superior.

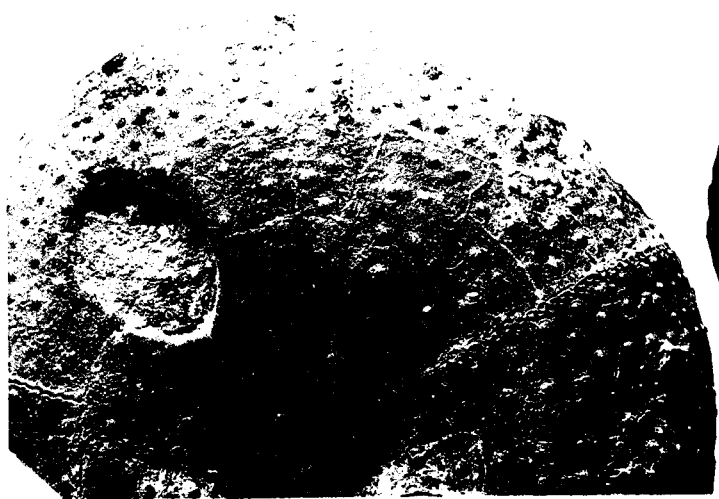
Fig. 5 cara superior fig. 6 cara inferior.

Fig. 7 vista del lado.

BOLETÍN N°25.

INSTITUTO GEOLÓGICO DE MÉXICO.

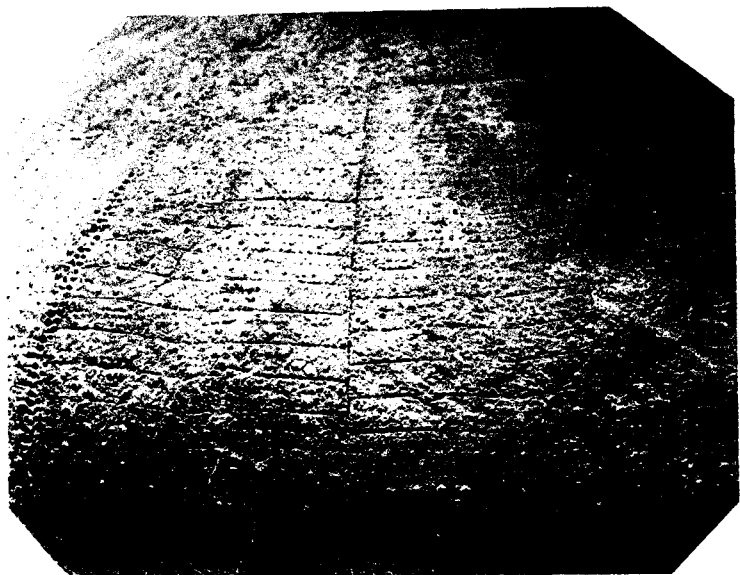
LÁM. XXXVII.



1



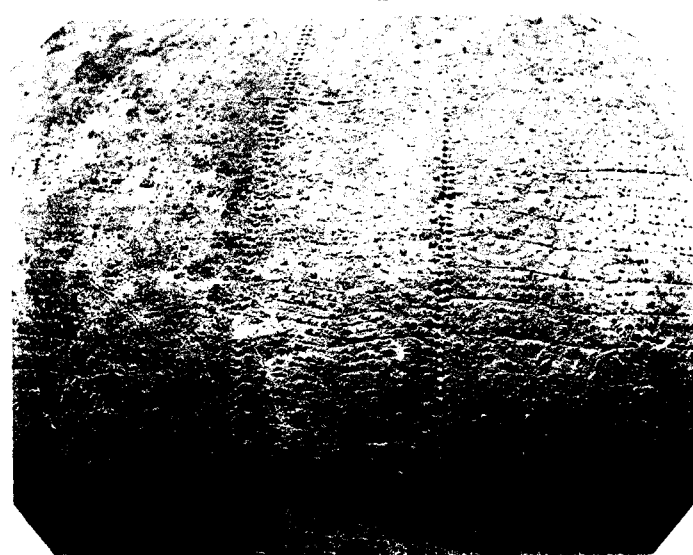
4



2



5



3



7



8

LAMINA XXXVIII

LAMINA XXXVIII

Fig. 1 y 2.—*Holectypus limitis*, n. sp.—Pág. 159.—Subdivisión 5, horiz. con Schloenb. trinodosa, Cenomaniano inferior.—Cerro de Muleros.

Fig. 1 región del peristoma. Amplificación.

Fig. 2 ambúlaco de la cara superior. Amplificación.

Fig. 3-8.—*Pyrina inaudita*, n. sp.—Pág. 162.—Horiz. con Schloenb. trinodosa, Cenomaniano inferior. Fig. 5 de la subdivisión 6, las otras de la subdivisión 5.—Cerro de Muleros.

Fig. 3 cara superior. Amplificado.

Fig. 4 cara inferior. Amplificado.

Fig. 5 cara inferior.

Fig. 6 cara superior; fig. 7 cara inferior; fig. 8 vista del lado.